

Effect of Low-Level Laser Therapy on the Nrf2/Keap1 Pathway in NMRI Mice with Testicular Torsion

Mohammad Bayat¹,
Mahsa Soltani²,
Ruhollah Torabi²,
Maryam Baazm³,
Mitra Barzroodi¹

¹ PhD in Anatomical Sciences, Assistant Professor, Department of Anatomy, School of Medicine, Arak University of Medical Sciences, Arak, Iran

² MSc in Anatomical Sciences, Students Research Committee, Arak University of Medical Sciences, Arak, Iran

³ PhD in Anatomical Sciences, Professor, Department of Anatomy, School of Medicine, Arak University of Medical Sciences, Arak, Iran

(Received April 4, 2024; Accepted August 31, 2025)

Abstract

Background and purpose: Testicular torsion (TT) is a urological emergency characterized by twisting of the spermatic cord, which reduces blood flow and leads to testicular ischemia. Low-level laser therapy (LLLT), an emerging therapeutic approach, may enhance mitochondrial energy production and activate immune responses. The aim of this study was to investigate the effect of LLLT on the protective Nrf2/Keap1 pathway in the testes of NMRI mice with testicular torsion.

Materials and methods: In this experimental study, male NMRI mice were randomly divided into four groups (six mice per group): control (Cont), laser (L), torsion (T), and combined torsion and laser (T&L). Both testes were rotated 720 degrees counterclockwise for 2 hours and then returned to their original positions. Laser treatment (808 nm, 0.03 J/cm², 1 min per session) was applied for 21 days, three sessions per week. MDA and TAC levels, as well as Nrf2 and Keap1 gene expression, were measured by real-time PCR.

Results: In the testicular torsion group, a significant increase in MDA levels and a decrease in TAC were observed ($P < 0.001$). Low-level laser therapy significantly increased the expression of Nrf2 ($P < 0.001$) and Keap1 ($P < 0.01$) genes, reduced MDA levels, and elevated TAC levels ($P < 0.001$).

Conclusion: Low-level laser therapy administered for three weeks following testicular detorsion may reduce oxidative stress and upregulate genes in the Nrf2/Keap1 pathway in mice, and thus could serve as an adjunctive therapy to mitigate testicular torsion-induced injuries.

Keywords: LLLT, MDA, TAC, Keap1, Nrf2, testicular torsion

J Mazandaran Univ Med Sci 2025; 35 (249): 101-107 (Persian).

Corresponding Author: Mitra Barzroodi pour - School of Medicine, Arak University of Medical Sciences, Arak, Iran (E-mail: m.barzroodipour@araku.ac.ir)

بررسی اثر لیزر درمانی کم توان بر مسیر *Nrf2/Keap1* در موش‌های نژاد NMRI، با پیچ خوردگی بیضه

محمد بیات^۱

مهسا سلطانی^۲

روح الله ترابی^۲

مریم باعزم^۳

میترا برزروودی پور^۱

چکیده

سابقه و هدف: پیچ خوردگی بیضه یک وضعیت اورژانسی در ارولوژی است که با پیچش طاب اسپرماتیک و کاهش خونرسانی، منجر به ایسکمی بافت بیضه می‌شود. لیزر درمانی با توان کم به عنوان یک روش نوین، می‌تواند تولید انرژی میتوکندری را افزایش دهد و پاسخ اینمی را فعال کند. این مطالعه با هدف بررسی تاثیر لیزر کم توان بر مسیر حفاظتی *Nrf2/Keap1*، در بیضه موش‌های NMRI با پیچ خوردگی بیضه، انجام پذیرفت.

مواد و روش‌ها: در این مطالعه آزمایشگاهی، موش‌های نژاد NMRI به طور تصادفی به ۴ گروه (هر گروه ۶ سر). کنترل (Cont)، لیزر (L)، پیچ خوردگی بیضه (T) و پیچ خوردگی بیضه و لیزر (T&L)، تقسیم شدند. هر دو بیضه به مدت ۲ ساعت به میزان ۷۲۰ درجه خلاف جهت عقره‌های ساعت چرخانده شده و سپس به موقعیت اولیه خود بازگردانده شدند. درمان با لیزر (۸۰۸ نانومتر، ۰/۰۳ J/cm² ۱ دقیقه) به مدت ۲۱ روز، ۳ جلسه در هفته اعمال شد. سطوح MDA، TAC و بیان ژن‌های *Nrf2* و *Keap1* با استفاده از real-time PCR اندازه‌گیری شدند.

یافته‌ها: افزایش سطح MDA و کاهش TAC به طور معنی‌داری ($P < 0.001$) در گروه پیچ خوردگی بیضه دیده شد. درمان با لیزر کم توان به طور معنی‌داری موجب افزایش بیان ژن‌های *Nrf2* ($P < 0.001$) و *Keap1* ($P < 0.01$) و کاهش سطح MDA و افزایش سطح TAC ($P < 0.001$) شده است.

استنتاج: درمان با لیزر کم توان به مدت ۳ هفته پس از جراحی و اپیچش بیضه احتمالاً با کاهش استرس اکسیداتیو و افزایش بیان ژن‌های مسیر *Nrf2/Keap1* در موش‌ها، می‌تواند به عنوان روشی مکمل در کاهش آسیب‌های پیچ خوردگی بیضه مؤثر باشد.

واژه‌های کلیدی:

Nrf2, Keap1, TAC, MDA, LLLT, Nrf2/Keap1

Email: m.barzroodipour@araku.ac.ir

مولف مسئول: میترا برزروودی پور-اراک؛ دانشکده پزشکی، دانشگاه علوم پزشکی اراک، اراک، ایران

۱. دکترای تخصصی علوم تاریخی، استادیار، گروه علوم تاریخ، دانشکده پزشکی، دانشگاه علوم پزشکی اراک، اراک، ایران

۲. کارشناسی ارشد علوم تاریخی، کمیته تحقیقات داشبوری، دانشگاه علوم پزشکی اراک، اراک، ایران

۳. دکترای تخصصی علوم تاریخی، استاد، گروه علوم تاریخ، دانشکده پزشکی، دانشگاه علوم پزشکی اراک، اراک، ایران

تاریخ دریافت: ۱۴۰۳/۱/۱۶ تاریخ ارجاع جهت اصلاحات: ۱۴۰۳/۱/۲۹ تاریخ تصویب: ۱۴۰۴/۶/۹

مقدمه

دستورالعمل‌های اخلاقی کمیته اخلاق دانشگاه علوم پزشکی اراک (IR.ARAKMU.AEC.1403.017) به ۴ گروه کنترل (Cont)، لیزر (L)، پیچ خوردگی بیضه (T) و پیچ خوردگی بیضه و لیزر (T&L) (هر گروه ۶ سر) تقسیم شدند. پس از برش شکمی استریل، هر دو بیضه ۷۲۰ درجه خلاف جهت عقربه‌های ساعت چرخانده و پس از ۲ ساعت واپیچش انجام شد^(۱۵). اولین تابش لیزر (۸۰۸ نانومتر، ۰/۰۳ J/cm^۲ ۱ دقیقه) بلا فاصله روی هر دو بیضه گروه پیچ خوردگی و لیزر اعمال شد. LLLT سه جلسه در هفته، هر جلسه ۱ دقیقه، به مدت ۲۱ روز ادامه یافت^(۱۶). با بیهوشی عمیق و آسان کشی، بیضه‌ها خارج شدند. بیضه چپ برای بررسی بیان ژن و بیضه راست برای اندازه‌گیری MDA (مالون دی آلدئید) و TAC (ظرفیت آنتی اکسیدانی کل) در دمای ۷۰-درجه سانتی گراد نگهداری شد. پس از استخراج RNA و ساخت cDNA ۵'CACATCCAGACAGACACCAG3' (پرایمر Nrf2 و ۵'GCAGCGAACTTATTGATGGT3' Keap1 و ۵'TATCCAGGGCAAGCGACTC (پرایمر GAPDH و ۵'AGCAAGGACACTGAGCAAGAG3' پرایمر ۵'GCAGCGAACTTATTGATGGT3' Real-time polymerase chain (Realtime-PCR (بررسی و سنجش میزان بیان ژن‌ها با روش متحاسبه شد^(۱۷).

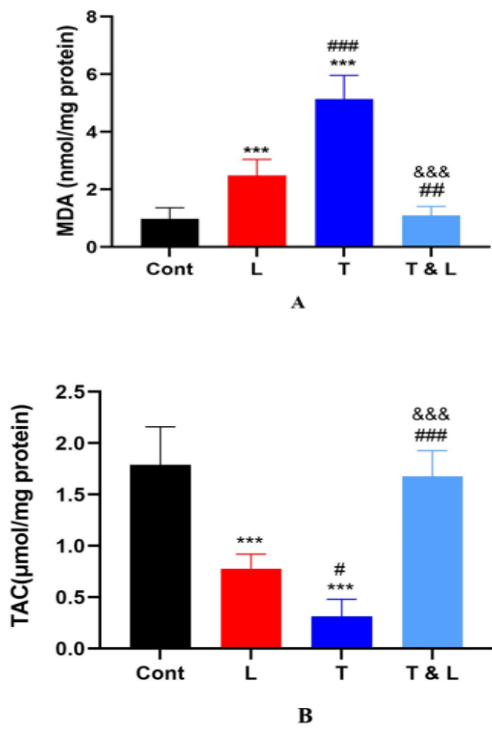
استرس اکسیداتیو بافت بیضه، با اندازه‌گیری MDA (کیازست) به روش واکنش تیوباریتوفیک اسید (TBA) (nmol/mg protein) و TAC (nmol/mg protein) (کیازیست) با روش FRAP (μmol/mg protein) بررسی شد^(۲۱-۲۲). آنالیز آماری با نرم افزار Graph Pad Prism10 داده‌ها به صورت Mean±SD گزارش شدند. نرمال بودن با آزمون شاپیرو-سویلک تایید و مقایسه میانگین گروه‌ها با معنی داری، آزمون توکی برای مقایسه زوجی استفاده شد. سطح معنی داری <P<۰/۰۵ در نظر گرفته شد.

پیچ خوردگی بیضه (Testicular Torsion) یک وضعیت اورژانسی اورولوژیکی است که با چرخش بیضه، قطع خونرسانی و ایسکمی بافت بیضه همراه است و در مردان زیر ۲۵ سال با شیوع ۱ در ۴۰۰۰ رخ می‌دهد^(۱-۲). جراحی واپیچش، جریان خون را باز می‌گرداند اما موجب تولید گونه‌های فعال اکسیژن (ROS)، التهاب، آسیب ایسکمی-ریپرفیوژن (I/R: Ischemia-Reperfusion) و آپوپتوز می‌شود^(۳-۵). در پاسخ استرس اکسیداتیو، Nrf2 (Nuclear factor erythroid 2-related factor2) از Kelch-like ECH-associated protein (Keap1) بروتین^(۱) جدا شد، با فعال‌سازی آنزیم‌های آنتی اکسیدانی مانند همواکسیژنаз ۱ (HO-1) و کیتون اکسیدوردوکاز ۱ (NQO1) باعث محافظت سلولی می‌شود. فعال‌سازی مسیر Nrf2 نقش مهمی در کاهش آسیب بیضه و حفظ عملکرد آن دارد^(۶-۷). درمان‌های کمکی مانند استفاده از آنتی اکسیدان‌ها، روش‌های فیزیکی همچون لیزر درمانی با توان کم (LLLT: low-level laser therapy) با طول موج ۶۰۰ تا ۱۰۰۰ نانومتر، با تحریک فرآیندهای فتوشیمیایی و زنجیره تنفسی میتوکندری، رونویسی ژن‌های مرتبط با واکنش‌های آنتی اکسیدانی توسط فاکتورهای Nrf2 و NF-κB و AP-1 آغاز می‌کند^(۸-۱۰). LLLT با تأثیرات ضد التهابی، کاهش استرس اکسیداتیو و بهبود ترمیم بافتی، رویکردی مفید در کاهش آسیب I/R شناخته شده است^(۱۰-۱۴). مطالعه حاضر با تمرکز بر فعال‌سازی مسیر Nrf2/Keap1 LLLT، یک روش درمانی مکمل همراه جراحی، برای کاهش عوارض پیچ خوردگی بیضه می‌باشد که در تحقیقات پیشین کمتر به آن پرداخته شده است. این رویکرد می‌تواند نشان‌دهنده اثرات حفاظتی و بیولوژیک LLLT بر آسیب‌های اکسیداتیو ناشی از I/R در باروری باشد.

مواد و روش‌ها

در این مطالعه آزمایشگاهی، ۲۴ موش نر بالغ NMRI (وزن ۲۰-۲۵ گرم) تحت شرایط استاندارد با رعایت

تصویر شماره ۲، A) و سطح TAC نسبت به کنترل (P<۰/۰۵) و لیزر (P<۰/۰۱) کاهش داشت (تصویر شماره ۲، B). در گروه پیج خوردگی بیضه و لیزر، MDA نسبت به گروههای لیزر (P<۰/۰۱) و پیج خوردگی بیضه (P<۰/۰۱) کاهش معنی دار (تصویر شماره ۲، A) و افزایش معنی داری را نسبت به گروههای لیزر و پیج خوردگی بیضه نشان داد (P<۰/۰۱، تصویر شماره ۲، B).

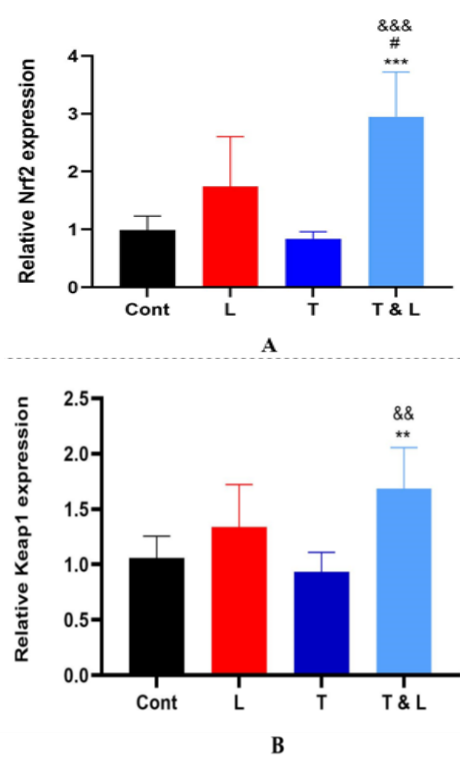


تصویر شماره ۲: A: سطح MDA و B: سطح TAC در گروههای مورد آزمایش، گروه کنترل (Cont)، لیزر (L)، پیج خوردگی بیضه (T)، پیج خوردگی بیضه و لیزر (T&L). *: معنی داری با گروه کنترل، #: معنی داری با گروه لیزر، &: معنی داری با گروه لیزر، ***: معنی داری با گروه پیج خوردگی بیضه، مقادیر به صورت خطای استاندارد میانگین ± میانگین بیان شده است.

مطالعه حاضر نشان داد که پیج خوردگی بیضه باعث کاهش غیر معنی دار بیان ژن Nrf2، کاهش ظرفیت TAC و افزایش MDA در بافت بیضه می شود، در حالی که LLLT به طور معنی داری باعث افزایش بیان Nrf2 و TAC و کاهش MDA گردید.

یافته ها و بحث

بیان ژن های Nrf2 و Keap1 در گروه پیج خوردگی بیضه و لیزر افزایش معنی دار ژن Nrf2 نسبت به گروههای کنترل و پیج خوردگی بیضه (P<۰/۰۱) و لیزر (P<۰/۰۵) مشاهده شد (تصویر شماره ۱، A). بیان ژن Keap1 در گروه پیج خوردگی بیضه و لیزر، در مقایسه با گروههای کنترل و پیج خوردگی بیضه افزایش معنی داری نشان داد (P<۰/۰۱، تصویر شماره ۱، B).



تصویر شماره ۱: A: میزان بیان ژن های Nrf2 و B: میزان بیان ژن Keap1 در گروههای مورد آزمایش، گروه کنترل (Cont)، لیزر (L)، پیج خوردگی بیضه (T)، پیج خوردگی بیضه و لیزر (T&L). *: معنی داری با گروه کنترل، #: معنی داری با گروه لیزر، &: معنی داری با گروه پیج خوردگی بیضه، مقادیر به صورت خطای استاندارد میانگین ± میانگین بیان شده است.

بررسی سطح MDA و TAC در گروه پیج خوردگی بیضه سطح MDA نسبت به کنترل و لیزر به طور معنی داری افزایش (P<۰/۰۱) نشان داد.

ظرفیت آنتی اکسیدانی بافت ییضه و فعال سازی مسیر Nrf2/Keap1 را افزایش می دهد که به کاهش آسیب های ناشی از ROS و استرس اکسیداتیو و بهبود عملکرد ییضه کمک می کند (۲۹، ۳۰). LLLT با جذب توسط میتوکندری ها، تولید ATP را افزایش و ROS را کاهش می دهد، فاکتور های رونویسی، ژن های ترمیم و آنتی اکسیدان ها را فعال کرده، رگزایی را تحریک و با کاهش التهاب به بهبود بافت کمک می کند (۲۹-۳۱). در مطالعه حاضر، LLLT احتمالاً با کاهش پراکسیداسیون لیپیدی سطح MDA را کاهش داده و از آسیب غشای سلول ها جلوگیری می کند (۳۰). علاوه بر کاهش تولید رادیکال های آزاد اکسیژن و مهار آپوپتوز القا شده در اثر هیپر ترمی ییضه (۳۲)، زمانی که به مدت ۳ هفته پس از جراحی پیج خوردگی ییضه استفاده شود، با افزایش ظرفیت آنتی اکسیدانی و بیان ژن های مسیر Nrf2/Keap1 در کاهش آسیب های اکسیداتیو نقش موثری ایفا می کند. با این حال، برای تأیید اثر بخشی و ایمنی آن، مطالعات بیشتری مورد نیاز است.

سپاسگزاری

مطالعه حاضر بر اساس طرح تحقیقاتی مورد تایید معاونت تحقیقات و فناوری دانشگاه علوم پزشکی اراک انجام شده است. از همکارانی که ما را در این پژوهش شرکت کردند، قدردانی می شود.

References

- Guazzone VA, Lustig L. Varicocele and testicular cord torsion: immune testicular microenvironment imbalance. *Front Cell Dev Biol* 2023; 11: 1282579. PMID: 38099296.
- Bašković M, Jurišić D, Štifter S, Vuković P, Šuran J, Tvrdeić A, et al. Astaxanthin Relieves Testicular Ischemia-Reperfusion Injury Immunohistochemical and Biochemical Analyses. *J Clin Med* 2022; 11(5): 1284.
- Chen S, Li Y, Zhang Y, Wang J, Liu H. Protective effect of ligustrazine on oxidative stress and apoptosis following testicular torsion in rats. *Sci Rep* 2023; 13(1): 20395. PMID: 37990048.

پیج خوردگی ییضه، منجر به کاهش خونرسانی و ایجاد ایسکمی در بافت ییضه می شود (۲۲). بازگرداندن جریان خون، از طریق واپیچش باعث تولید انبوه رادیکال های آزاد اکسیژن می شود که به آسیب بافتی، تخریب پروتئین ها و DNA و اختلالات هورمونی می انجامد (۲۴، ۲۵). همچنین، ROS باعث آغاز پراکسیداسیون لیپیدی در غشای سلولی و اختلال عملکرد سلولی می شود. مسیر تنظیمی Nrf2/Keap1 با کنترل بیش از ۲۰۰ ژن محافظت، نقش حیاتی در مقابله با استرس اکسایشی و حفظ سلامت سلولی دارد (۲۵، ۲۶). در مطالعه حاضر، پس از پیج خوردگی ییضه، بیان ژن Nrf2 کاهش یافت که معنی دار نبود، در حالی که مطالعات پیشین در مدل های حیوانی I/R کاهش بیان Nrf2 و آنزیم های NQO1 و HO-1 را گزارش کرده اند (۲۷). استرس اکسیداتیو ناشی از پیج خوردگی ییضه، سطح پروتئین های آنتی اکسیدانی محافظتی را کاهش می دهد (۲۲). افزایش رادیکال های آزاد موجب آسیب غشای سلول ها و تولید محصولات پراکسیداسیون مانند MDA به عنوان شاخص آسیب اکسیداتیو و پراکسیداسیون لیپیدی می شود (۲۸). در گروه پیج خوردگی ییضه، سطح MDA افزایش و سطح TAC بطور معنی داری کاهش یافت که احتمالاً ناشی از غیر فعال شدن آنزیم های آنتی اکسیدانی از طریق آسیب به گروه های سولفیدریبل فعل است (۲۲).

مطالعه حاضر نشان داد که LLLT با افزایش بیان ژن TAC در گروه پیج خوردگی ییضه، Nrf2 و سطح TAC در گروه پیج خوردگی ییضه،

4. Xu LZ, Chen Y, Wang Y, Li J, Zhang Y. Oleuropein attenuates testicular ischemia-reperfusion by inhibiting apoptosis and inflammation. *Tissue Cell* 2022; 78: 101876.
5. Eltzschig HK, Eckle T. Ischemia and reperfusion—from mechanism to translation. *Nat Med* 2011; 17(11): 1391-1401. PMID: 22064429.
6. Ma Q. Role of nrf2 in oxidative stress and toxicity. *Annu Rev Pharmacol Toxicol* 2013; 53: 401-426. PMID: 23294312.
7. Sies H, Berndt C, Jones DP. Oxidative stress. *Annu Rev Biochem* 2017; 86: 715-748. PMID: 28441057.
8. Li ZM. Role of antioxidants in preventing testicular ischemia-reperfusion injury: a narrative review. *Eur Rev Med Pharmacol Sci* 2022; 26(24). PMID: 36591825.
9. Tsai SR, Hamblin MR. Biological effects and medical applications of infrared radiation. *J Photochem Photobiol B* 2017; 170: 197-207. PMID: 28441605.
10. Abdel-Magied N, Elkady AA, Abdel Fattah SM. Effect of low-level laser on some metals related to redox state and histological alterations in the liver and kidney of irradiated rats. *Biol Trace Elem Res* 2020; 194(2): 410-422. PMID: 31313245.
11. Costa Carvalho JL, de Lima FM, de Melo M, do Nascimento Santos L, de Brito Galvão JF, Albertini R, et al. The chemokines secretion and the oxidative stress are targets of low- level laser therapy in allergic lung inflammation. *J Biophotonics* 2016; 9(11-12): 1208-1221. PMID: 27649282.
12. Espey BT, Tardif S, Halvaei I, Aitken RJ, Drevet JR, Kothari S, et al. Effects of pulsed- wave photobiomodulation therapy on human spermatozoa. *Lasers Surg Med* 2022; 54(4): 540-553. PMID: 33792933.
13. Gerace E, Landucci E, Scartabelli T, Moroni F, Pellegrini-Giampietro DE, Mannaioni G, et al. NIR laser photobiomodulation induces neuroprotection in an in vitro model of cerebral hypoxia/ischemia. *Mol Neurobiol* 2021; 58(10): 5383-5395. PMID: 34319540.
14. Abdelkader AM, El-Sherbiny M, El-Magd MA, El-Sherbiny EM, El-Said KS. Comparative Efficacy of Ultrasound and Laser Therapy in Modulating Inflammatory Markers in a Rat Model of Testicular Inflammation. *J Lasers Med Sci* 2025; 16: e4. PMID: 40330511.
15. Fard NM, Shokoohi M, Rastgar Rezaei Y, Niazi V, Niazi V, Moghimian M. Nanocurcumin decreases nucleotide-binding oligomerization domain-like receptor family pyrin domain-containing 3 complex expressions in an experimental testicular torsion model. *Int J Fertil Steril* 2024; 18(4): 411-420. PMID: 39564834.
16. Rezaei F, Ghasemian F, Shokoohi M, Abtahi-Eivary SH, Rakhshan K, Haghani K, et al. Photobiomodulation therapy improves spermatogenesis in busulfan-induced infertile mouse. *Reprod Sci* 2021; 28(12): 3456-3465.
17. Hemati U, Shokoohi M, Khaki A, Khaki AA, Shoorei H. The effect of curcumin on NRF2/Keap1 signalling pathway in the epididymis of mouse experimental cryptorchidism. *Andrologia* 2022; 54(10): e14532.
18. Esterbauer H, Zollner H. Methods for determination of aldehydic lipid peroxidation products. *Free Radic Biol Med* 1989; 7(2): 197-203. PMID: 2680787.
19. Esterbauer H, Cheeseman KH. Determination of aldehydic lipid peroxidation products: malonaldehyde and

- 4-hydroxynonenal. *Methods Enzymol* 1990; 186: 407-421. PMID: 2233308.
20. Sohrabipour S, Sharifi MR, Sharifi M, Talebi A, Kharazinejad E. The role of flaxseed and vitamin E on oxidative stress in prepubertal rats with experimental varicocele: An experimental study. *Iran J Reprod Med* 2013; 11(6): 459-466. PMID: 24639779.
21. Erel O. A new automated colorimetric method for measuring total oxidant status. *Clin Biochem* 2005; 38(12): 1103-1111. PMID: 16214125.
22. Abdelzaher WY, Ahmed AF, El-Tahawy NFG, Ali FEM, El-Sayed NM. Idebenone regulates sirt1/Nrf2/TNF- α pathway with inhibition of oxidative stress, inflammation, and apoptosis in testicular torsion/detorsion in juvenile rats. *Hum Exp Toxicol* 2022; 41: 09603271221102515. PMID: 35593271.
23. Salmasi AH, Beheshtian A, Payavbavash S, Demehri S, Ebrahimkhani MR, Karimzadeh A, et al. Effect of morphine on ischemia-reperfusion injury: experimental study in testicular torsion rat model. *Urology* 2005; 66(6): 1338-1342. PMID: 16360480.
24. Gökçe A, Oktar S, Koc A, Yonden Z, Ozkan OV, Duran N. Protective effect of thymoquinone in experimental testicular torsion. *Urol Int* 2010; 85(4): 461-465. PMID: 20628240.
25. Nadi Z, Shabani R, Hosseini SA. Effect of Resistance and Endurance Trainings on Nrf2/Keap1 Signaling Pathway in Testicular Tissue of Type 2 Diabetic Rats. *J Mazandaran Univ Med Sci* 2022; 32(214): 24-34.
26. Done AJ, Traustadóttir T. Nrf2 mediates redox adaptations to exercise. *Redox Biol* 2016; 10: 191-199. PMID: 27770706.
27. Onishi A, Kato T, Yamaguchi K, Kondo Y, Takeuchi M, Kishikawa N, et al. Dimethyl Fumarate Protects Rats against Testicular Ischemia-Reperfusion Injury. *Andrologia* 2023; 2023: 7086044.
28. Len JS, Koh WSD, Tan SX. The roles of reactive oxygen species and antioxidants in cryopreservation. *Biosci Rep* 2019; 39(8): BSR20191601. PMID: 31371631.
29. Hamblin MR. Mechanisms and applications of the anti-inflammatory effects of photobiomodulation. *AIMS Biophys* 2017; 4(3): 337-361. PMID: 28748217.
30. Parvin A, Shokoohi M, Aboutaleb N, Niazi V, Soltani M. The effects of photobiomodulation on the improvement of sperm parameters: A review study. *Photochem Photobiol* 2024; [volume (issue)]: [page numbers].
31. Chung H, Dai T, Sharma SK, Huang YY, Carroll JD, Hamblin MR. The nuts and bolts of low-level laser (light) therapy. *Ann Biomed Eng* 2012; 40(2): 516-533. PMID: 22045511.
32. Hasani A, Shokoohi M, Niazi V, Arabpoor Z, Rasti M, Abshenas J, et al. Photobiomodulation restores spermatogenesis in the transient scrotal hyperthermia-induced mice. *Life Sci* 2020; 254: 117767.